

TiO₂ 纳米管阵列/介孔羟基磷灰石复合型药物载体的构建及药物缓释研究

福建省福州市第二医院骨科 (福州 350007) 郑竑 陈学生 林伟¹

【摘要】 目的 构建一种骨科钛板表面 TiO₂ 纳米管阵列/介孔羟基磷灰石 (m-HA) 复合型药物载体, 考察阿仑膦酸钠 (ALN) 在其上的缓释性能。方法 利用 X 射线衍射 (XRD)、扫描电镜 (SEM)、透射电镜 (TEM) 分别表征 TiO₂ 纳米管阵列及 TiO₂ 纳米管阵列/m-HA 复合型药物载体的形貌, 并测定其上负载 ALN 的缓释。结果 成功构建了稳定的 TiO₂ 纳米管阵列/m-HA 复合型药物载体, 相对于 TiO₂ 纳米管阵列具有更大的药物担载量。同时负载在 TiO₂ 纳米管阵列中的 ALN 在第 3 d 时释放量即达 (88.06 ± 6.27)% , 从第 5 d 开始, 药物释放基本完毕, 8 d 后的总释放率为 (94.91 ± 8.51)% ; 负载在 TiO₂ 纳米管阵列/m-HA 复合型药物载体中的 ALN 在第 3 d 时的释放量仅为 (66.51 ± 5.37)% , 且在后续的几天里保持持续缓慢释放药物, 8 d 后总释放率达到 (97.31 ± 8.22)% 。结论 TiO₂ 纳米管阵列/m-HA 复合型药物载体比单纯的 TiO₂ 纳米管阵列具有更大的药物担载量, 同时缓释性能更好。

【关键词】 骨科钛板; TiO₂ 纳米管阵列; 介孔羟基磷灰石; 阿仑磷酸钠; 缓释

【中图分类号】 R68 **【文献标识码】** A **【文章编号】** 1002-2600(2019)03-0008-04

Construction and drug sustained release of TiO₂ nanotube array/mesoporous hydroxyapatite composite drug carrier ZHENG Hong, CHEN Xuesheng, LIN Wei. Department of Orthopaedics, Fuzhou Municipal Second Hospital, Fuzhou, Fujian 350007, China

【Abstract】 **Objective** To construct a TiO₂ nanotube array/mesoporous hydroxyapatite (m-HA) composite drug carrier on the surface of orthopedic titanium plate, and investigate the sustained release of alendronate sodium (ALN) on its performance. **Methods** X-ray diffraction (XRD), scanning electron microscopy (SEM) and transmission electron microscopy (TEM)

基金项目: 2018 年福建省自然科学基金面上项目 (2018J01357)

1 通信作者, Email: linwei_fj@126.com

were used to characterize the morphology of TiO_2 nanotube array and TiO_2 nanotube array/m-HA composite drug carriers. The sustained release of the loaded ALN was measured. **Results** Stable TiO_2 nanotube array/m-HA composite drug carriers were successfully constructed, which had a larger drug loading capacity than the TiO_2 nanotube array. The release rate of ALN loaded on the TiO_2 nanotube array at the 3rd days was $(88.06 \pm 6.27)\%$, the drug release was almost completed from the 5th day, and the total release rate after eight days was $(94.91 \pm 8.51)\%$. The release rate of ALN loaded on the TiO_2 nanotube array/m-HA composite drug carriers was only $(66.51 \pm 5.37)\%$ at the 3rd days, the sustained release of the drug continued for the next few days, and the total release rate reached $(97.31 \pm 8.22)\%$ after eight days. **Conclusion** The TiO_2 nanotube array/m-HA composite drug carrier has a larger drug loading than the pure TiO_2 nanotube array, and the sustained release performance is better.

【Key words】 orthopedic titanium plate; TiO_2 nanotube array; mesoporous hydroxyapatite; alendronate sodium; sustained release

内植物材料由于其良好的生物学特性，目前已广泛地应用于骨科手术中，其中细菌贴附造成的内植物感染是骨科手术后的灾难性并发症。因此，如何在内植物表面进行抗菌或抑菌修饰是研究的热点。 TiO_2 纳米管阵列作为一种新型药物载体，具有独特的中空结构、纳米管径及表面易功能化等特点^[1]。羟基磷灰石（HA）是天然骨组织中无机质的主要成分，具有良好的生物活性、生物相容性和骨诱导性。在骨科领域中，介孔羟基磷灰石（mesoporous hydroxyapatite, m-HA）由于具备更宽大的孔道空间和吸附性能，因此在增加药物的负载及释放控制的同时利于骨的诱导和骨的长入。因此，本研究以骨科钛板为基体，在其表面构建 TiO_2 纳米管阵列，在管内填充 m-HA，构建 TiO_2 纳米管阵列/m-HA 复合型药物载体，并以阿仑磷酸钠（alendronate sodium, ALN）作为负载药物，考察该复合型药物载体的缓释性能。

1 材料与方法

1.1 材料：钛片（西北有色金属研究院），纯度 99.6%，金相砂纸抛光后，无水乙醇超声振荡清洗去油，去离子水冲洗 3 次后室温干燥后备用。 $\text{Ca}(\text{NO}_3)_2 \cdot 4\text{H}_2\text{O}$ 、 $(\text{NH}_4)_2\text{HPO}_4$ （西陇化工股份有限公司），ALN（杭州默沙东制药有限公司），其余试剂均为国产分析纯。

1.2 实验方法：

1.2.1 m-HA 的合成：按 Ca/P 物质的量比 1.67 称取 $\text{Ca}(\text{NO}_3)_2 \cdot 4\text{H}_2\text{O}$ 和 $(\text{NH}_4)_2\text{HPO}_4$ 。先将 $\text{Ca}(\text{NO}_3)_2 \cdot 4\text{H}_2\text{O}$ 溶于装有无水乙醇的小烧杯中得到 $\text{Ca}(\text{NO}_3)_2$ 溶液，将其置于装有氨水的大烧杯中，薄膜封口，在氨气的作用下， $\text{Ca}(\text{NO}_3)_2$ 溶液的 pH 被调节到 10.5 左右。将称取的 $(\text{NH}_4)_2\text{HPO}_4$ 溶于蒸馏水中，边搅拌边缓慢将其滴加入 $\text{Ca}(\text{NO}_3)_2$ 溶液中，滴加结束后，继续搅拌 2 h，室温陈化 24 h，即可得到介孔羟基磷灰石溶胶^[2]。

1.2.2 TiO_2 纳米管阵列的制备及其表征：

采用化学阳极氧化法制备 TiO_2 纳米管阵列。制备时采用量程为 0~30 V 的可调式直流稳压稳流电源，以钛片为阳极，石墨为阴极，电解液的成分为氟化铵、硫酸铵、甘油和水。阳极氧化反应在阳极电压为 20 V、磁力搅拌下室温连续进行 60 min。反应结束后，样品用蒸馏水清洗，置于空气中干燥。干燥后的样品放入马弗炉中煅烧，煅烧温度 450 °C，煅烧时间 2 h，即可得 TiO_2 纳米管阵列。

1.2.3 TiO_2 纳米管阵列/m-HA 复合型药物载体的构建：室温下，将 TiO_2 纳米管阵列钛片缓慢浸入到介孔羟基磷灰石溶胶中，完全浸没后静置 30 s，缓慢提出后置于烘箱内，缓慢加热至 70 °C，维持 15 min。取出后立即转入放到马弗炉中升温到 500 °C 煅烧，升温速率为 5 °C/min，保温 2 h，随炉冷却至室温，即可得到 TiO_2 纳米管阵列/m-HA 复合型药物载体。

1.2.4 不同材料的结构形貌表征：钛片、 TiO_2 纳米管阵列、 TiO_2 纳米管阵列/m-HA 复合型药物载体的形貌采用场发射扫描电子显微镜（FE-SEM, JSM-5600LV 型）进行形貌观察。X 射线衍射（XRD）分析采用 Philips X'Pert 射线衍射仪测定。分别取 10 例 TiO_2 纳米管阵列、 TiO_2 纳米管阵列/m-HA 复合型药物载体利用 Autosorb-1C-TCD 型全自动比表面积和孔径分布分析仪（荷兰帕纳科公司）进行比表面积及孔径的测定。

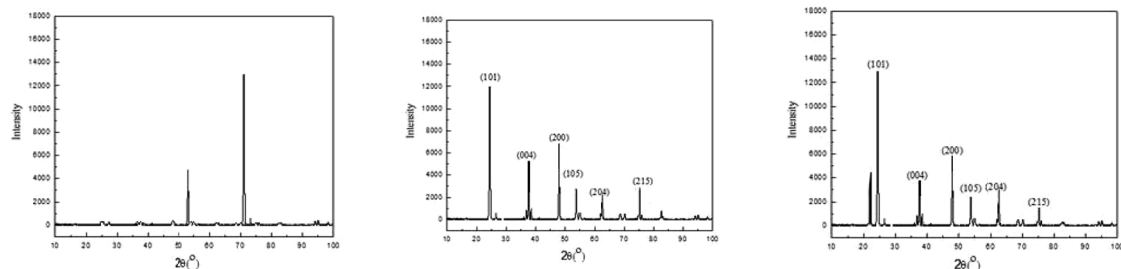
1.2.5 ALN 在不同材料上的吸附与缓释：分别取 10 例 TiO_2 纳米管阵列、 TiO_2 纳米管阵列/m-HA 复合型药物载体置于 200 mL、3 mg/mL 的 ALN 水溶液中，动态吸附 36 h 后取出，用柱前衍生化 HPLC 法测定溶液中的 ALN 剩余浓度^[3-5]，计算 ALN 在载体中的最大吸附量 M (mg)^[6]。释放率计算公式： $\frac{200p}{M} \times 100\%$ 。

1.6 统计学分析:采用 SPSS 19.0 进行结果的统计分析,计量资料以均值±标准差表示,结果采用 *t* 检验,以 $P<0.05$ 为差异有统计学意义。

2 结果

2.1 不同材料的结构形貌表征:图 1 为 3 种材料的 XRD 图谱。如图 1 中的左图所示,钛片只有 Ti 的特征峰,在 $10\sim30^\circ$ 范围内有轻微的隆起,符合无定形结构的衍射图谱特征。 TiO_2 纳米管阵列的

XRD 图谱如图 1 中的中图所示,除 Ti 特征峰外,在 $2\theta=24.1^\circ$ 、 38.3° 、 48.1° 、 53.9° 、 75.6° 处出现了 TiO_2 锐钛矿相 (101)、(004)、(200)、(105)、(215) 晶面的特征峰。 TiO_2 纳米管阵列/m-HA 复合型药物载体的 XRD 图谱如图 1 中的右图所示,图中除了基体 Ti 及 TiO_2 锐钛矿的特征衍射峰外,在 $2\theta=21.7^\circ$ 还出现了 HA 的特征衍射峰,说明了 m-HA 成功地被固定到 TiO_2 纳米管阵列的孔道中。

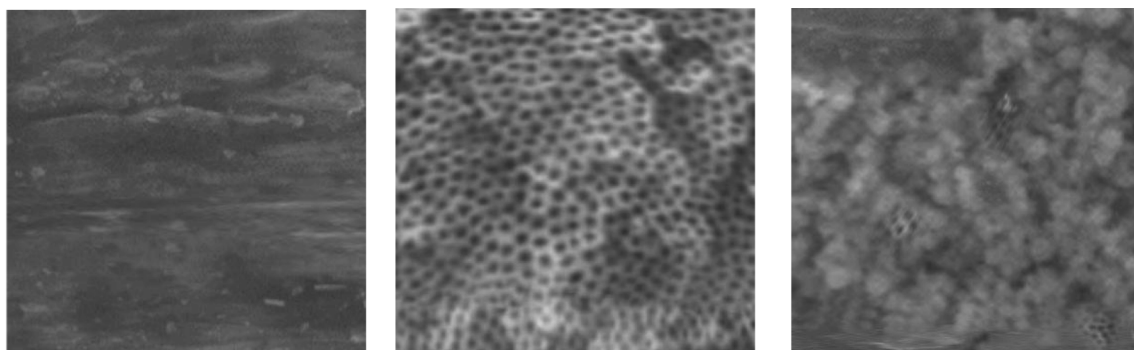


注: 左图为钛片; 中图为 TiO_2 纳米管阵列; 右图为 TiO_2 纳米管阵列/m-HA 复合型药物载体。

图 1 不同材料的 XRD 图谱

2.2 不同材料的扫描电镜分析:采用扫描电镜观察钛片(图 2 左)、 TiO_2 纳米管阵列(图 2 中)、 TiO_2 纳米管阵列/m-HA 复合型药物载体(图 2 右)表面形貌。可见经过阳极氧化技术的钛金属表面的纳米管已聚集收拢成阵列,其排列规则、形态均匀、垂直分布于钛金属基底(图 2 中)。 TiO_2 纳米管阵列/m-HA 复合型药物载体(图 2 右)的钛片骨架保存完好,m-HA 填满了 TiO_2 纳米管阵列

孔道中大部分缝隙,少数小孔道未被填满,说明 m-HA 已被成功固定到 TiO_2 纳米管阵列的孔道中,形成了没有完全填充的正面实心复合材料。 TiO_2 纳米管阵列/m-HA 复合型药物载体的孔容、载药量、比表面积较 TiO_2 纳米管阵列载体升高,平均管径降低,差异具有统计学意义($P<0.05$,表 1)。



注: 左图为钛片; 中图为 TiO_2 纳米管阵列; 右图为 TiO_2 纳米管阵列/m-HA 复合型药物载体。

图 2 不同材料的扫描电镜图(1 μm)

表 1 两种复合型药物载体的表征 ($\bar{x}\pm s$)

药物载体	孔容/(cm ³ /g)	载药量/%	平均管径/nm	比表面积/(m ² /g)
TiO_2 纳米管阵列载体	0.212 ± 0.016	55.77 ± 4.79	235.64 ± 23.76	79.37 ± 11.03
TiO_2 纳米管阵列/m-HA 复合型药物载体	$0.249\pm0.021^*$	$67.12\pm5.12^*$	$137.59\pm12.35^*$	$162.38\pm14.38^*$

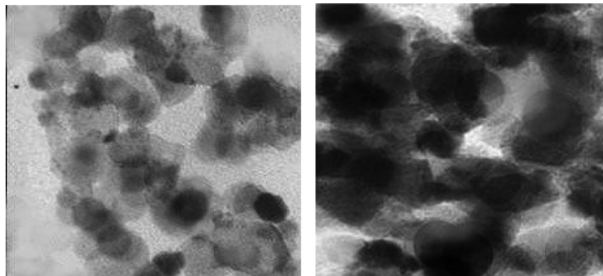
注: 与 TiO_2 纳米管阵列载体比较, * $P<0.05$ 。

表 2 不同药物载体在模拟体液中的释放速率 (%)

不同载体	1 d	2 d	3 d	4 d	5 d	6 d	7 d	8 d
TiO ₂ 纳米管阵列 载体	50.98±4.12	76.11±5.03	88.06±6.27	91.71±8.31	92.37±7.85	93.22±7.47	94.67±8.22	94.91±8.51
TiO ₂ 纳米管阵列/ m-HA 复合型药 物载体	39.11±2.44 [*]	54.89±3.83 [*]	66.51±5.37 [*]	79.96±6.82 [*]	88.87±6.79 [*]	90.37±7.85 [*]	92.37±7.85	97.31±8.22

注：与 TiO₂ 纳米管阵列载体比较，* P<0.05。

2.3 ALN 在不同材料上的吸附与缓释：图 3 为 ALN 在 TiO₂ 纳米管阵列以及 TiO₂ 纳米管阵列/m-HA 复合药物载体上的透射电镜（TEM）照片。从图中可以看出 TiO₂ 纳米管阵列/m-HA 复合药物载体较 TiO₂ 纳米管阵列有更大的药物担载量。



注：左图为 TiO₂ 纳米管阵列/ALN；右图为 TiO₂ 纳米管阵列/m-HA/ALN

图 3 TiO₂ 纳米管阵/ALN 与 TiO₂ 纳米管阵列/m-HA/ALN 的 TEM 图 (100 nm)

ALN 在 TiO₂ 纳米管阵列载体与 TiO₂ 纳米管阵列/m-HA 复合型药物载体的模拟体液中的释放速率见表 2。负载在 TiO₂ 纳米管阵列中的 ALN 在第 3 d 时释放量即达 (88.06±6.27)%，从第 5 d 开始，药物释放基本完毕，8 d 后的总释放率为 (94.91±8.51)%；负载在 TiO₂ 纳米管阵列/m-HA 复合型药物载体中的 ALN 在第 3 d 时的释放量仅为 (66.51±5.37)%，且在后续的几天里保持持续缓慢释放药物，8 d 后总释放率达到 (97.31±8.22)%。

3 讨论

TiO₂ 作为一种骨科内植物材料，其生物相容性已广为人所知。钛金属之所以具有良好的生物相容性，正是因为钛表面被一层致密的 TiO₂ 膜所覆盖。通过电化学阳极氧化的方法可在钛金属表面制备出一层管径可控、均匀有序的 TiO₂ 纳米管阵列，

其独特的中空结构、纳米管径及表面易功能化使之成为极有吸引力的新型药物载体。m-HA 具有良好生物活性和骨诱导性，其宽大的孔道空间和吸附性能，能够增加药物负载控制药物缓释，同时大孔道的存在有利于骨的诱导和骨的长入。

本研究通过阳极氧化在基体表面构建 TiO₂ 纳米管阵列，并在管内填充介孔羟基磷灰石，构建 TiO₂ 纳米管阵列/介孔羟基磷灰石复合药物载体，并以 ALN 作为负载药物，考察该复合型药物载体的缓释性能，结果表明成功构建的稳定 TiO₂ 纳米管阵列/m-HA 复合型药物载体，相对于 TiO₂ 纳米管阵列具有更大的药物担载量，同时负载在 TiO₂ 纳米管阵列/m-HA 复合型药物载体中的 ALN 在 1~5 d 仅释放了 80.92%，8 d 后的释放率达到 97.31%，由此说明骨科钛板表面 TiO₂ 纳米管阵列/m-HA 复合型药物载体较单纯的 TiO₂ 纳米管阵列能够有效增加药物担载量，同时提升阿仑膦酸钠在骨科钛板表面的缓释性能。

参考文献

- [1] 刘非拉, 肖鹏, 周明, 等. 二氧化钛纳米管阵列的制备、改性及应用 [J]. 无机化学学报, 2012, 28 (5): 861-872.
- [2] 王文焱, 卢高, 谢敬佩, 等. 溶胶-凝胶法在钛表面制备钛/羟基磷灰石生物涂层 [J]. 表面技术, 2011, 40 (5): 21-24.
- [3] 胡惠静, 卢婷利, 陈涛. 阿仑膦酸钠药物的分析 [J]. 中国现代应用药学杂志, 2009, 26 (3): 198-202.
- [4] 宋少刚, 田洁, 聂新华, 等. 柱前衍生化 HPLC 法测定阿仑膦酸钠的浓度 [J]. 中国药房, 2009, 20 (16): 1251-1252.
- [5] Yun M H, Kwon K I. High-performance liquid chromatography method for determining alendronate sodium in human plasma by detecting fluorescence: Application to a pharmacokinetic study in humans [J]. J Pharm Biomed Anal, 2006, 40 (1): 168.
- [6] 林妙阔, 黄尔丹, 黄向红, 等. 骨科钛板表面 TiO₂ 纳米管阵列/MCM-41 分子筛复合型药物载体的构建及负载阿仑膦酸钠缓释性能研究 [J]. 福建医药杂志, 2017, 39 (1): 58-61.